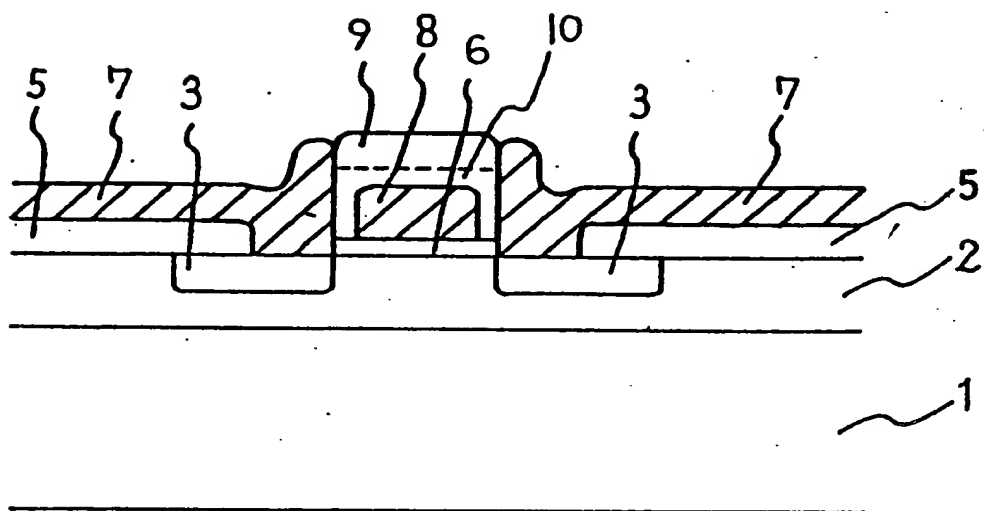


841644

Fig. 1



03341644 - 043057

841644

Fig. 2

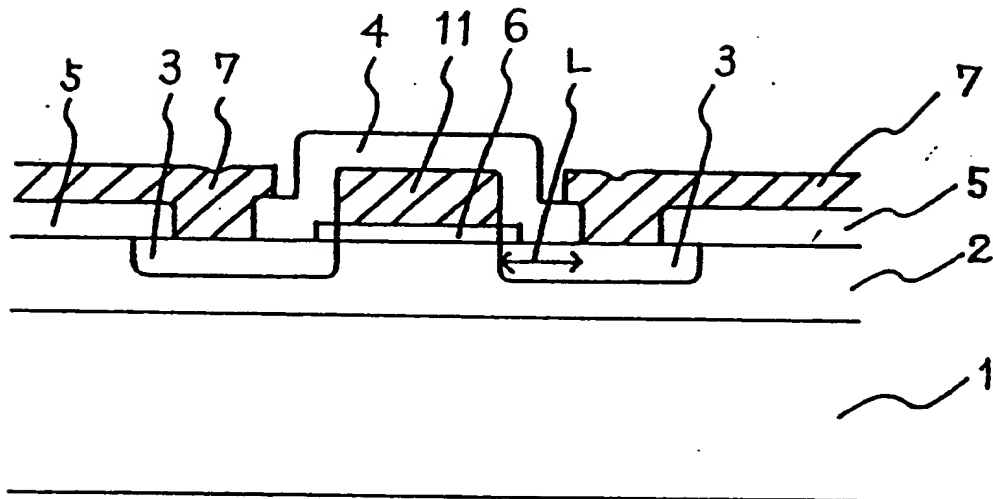


Fig. 3

NTFT

PTFT

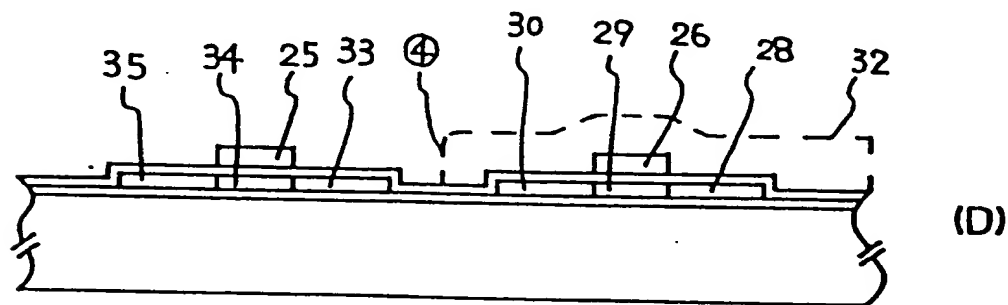
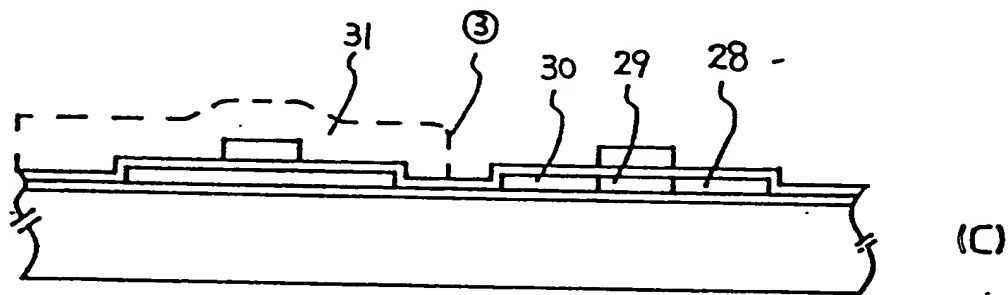
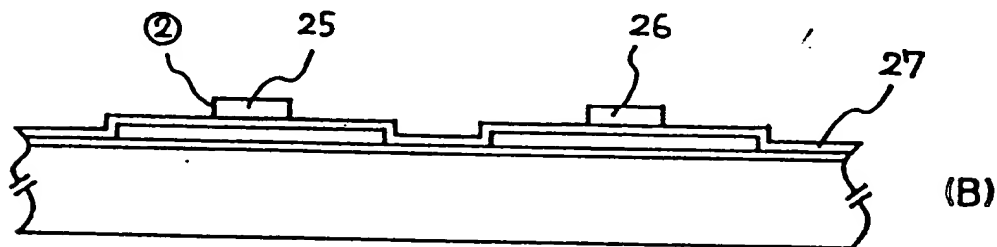
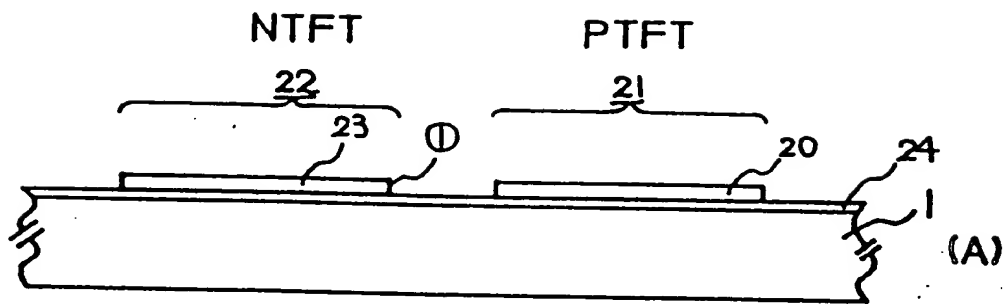


Fig. 3

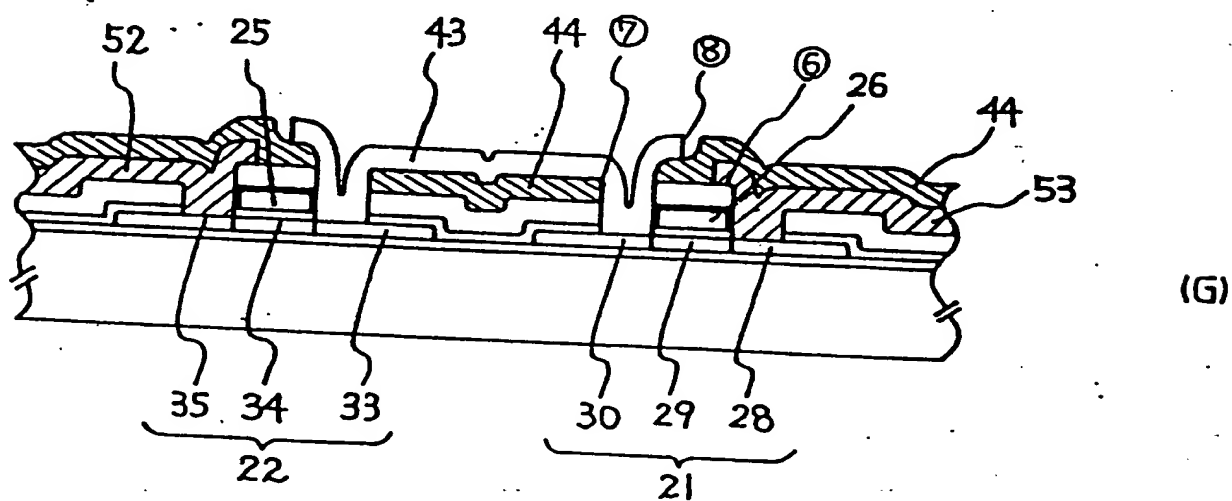
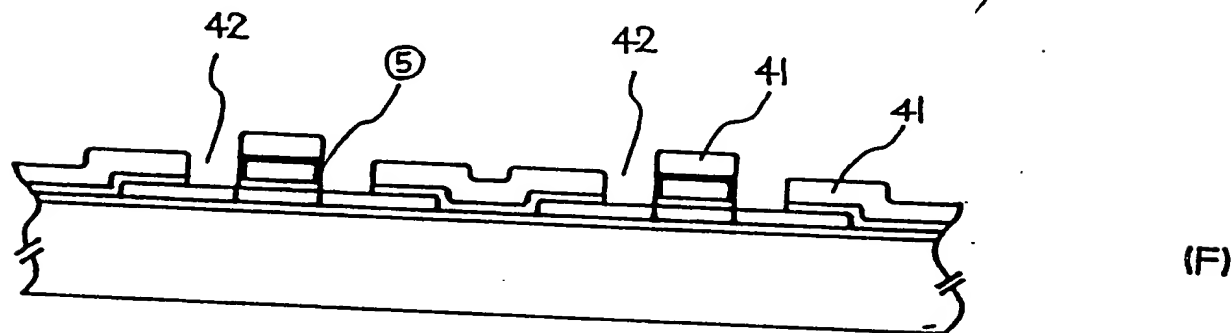
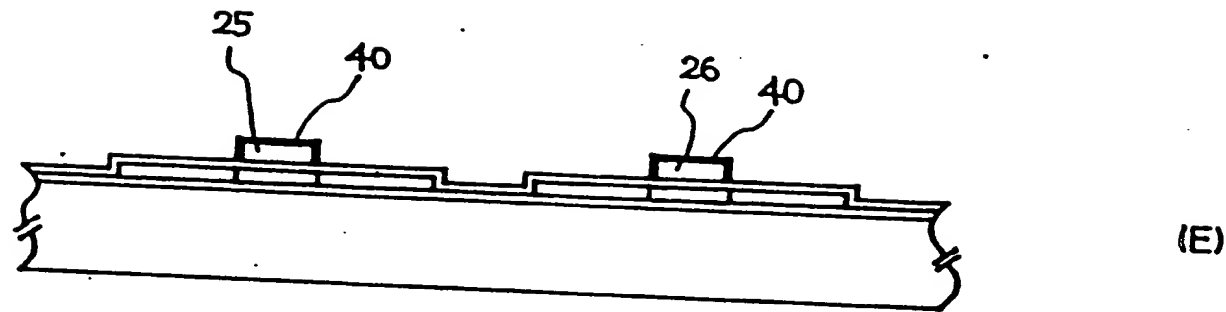
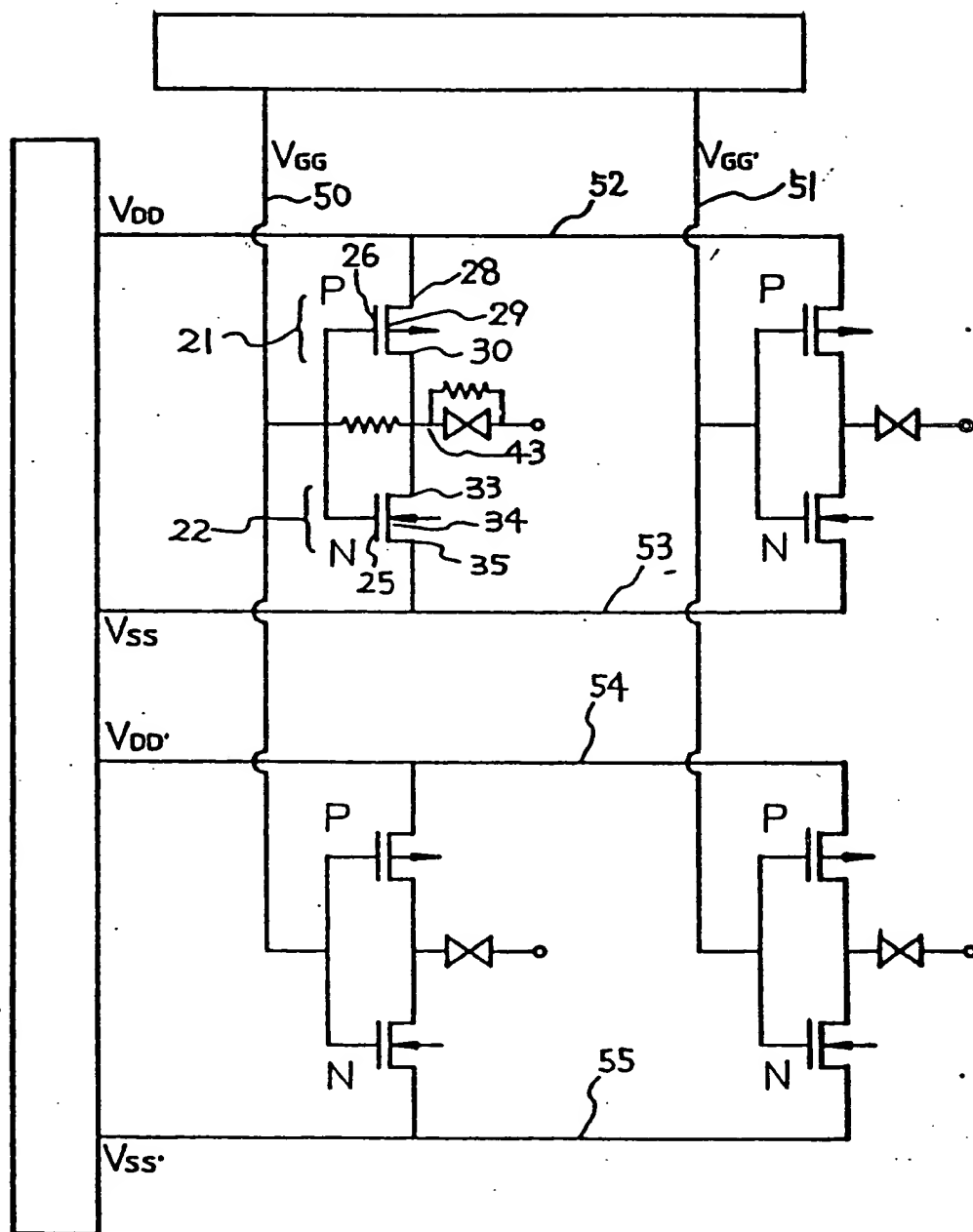
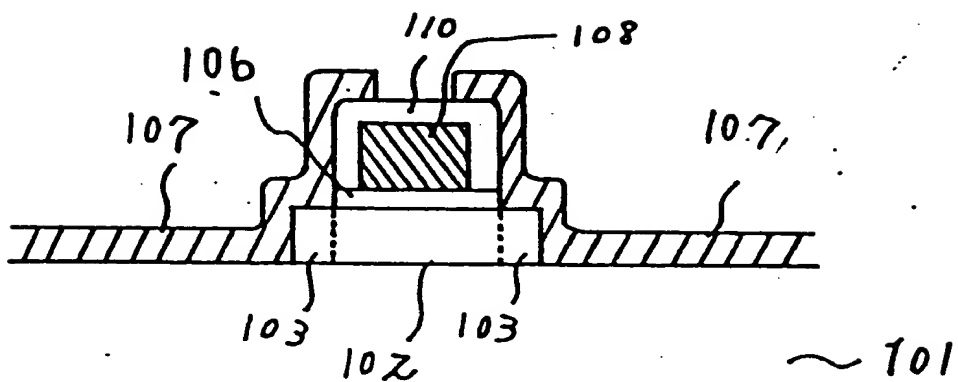


Fig. 4



841644

Fig. 5



841644

Fig. 6

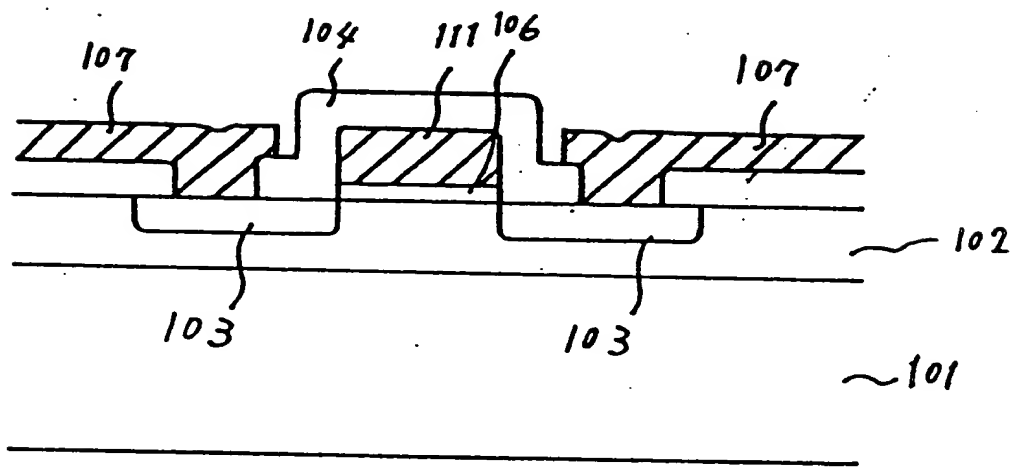
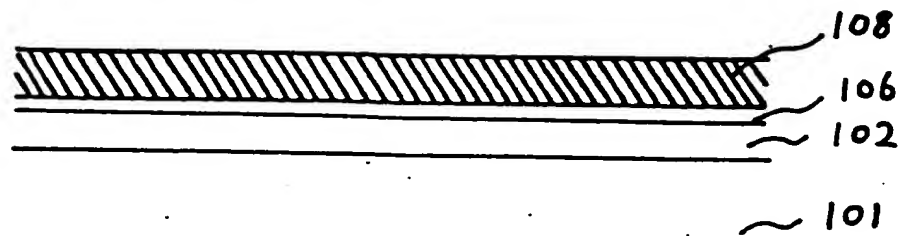
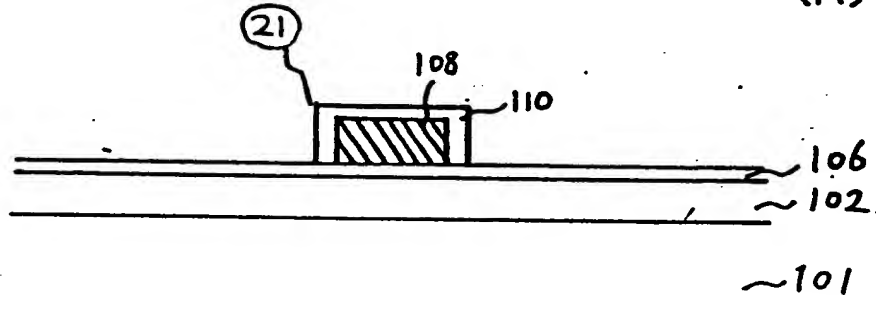


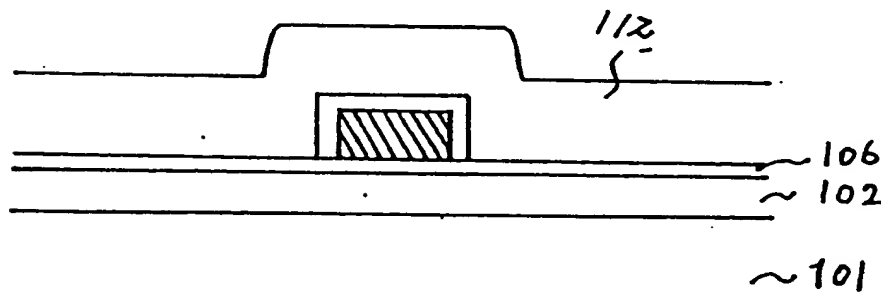
Fig. 7



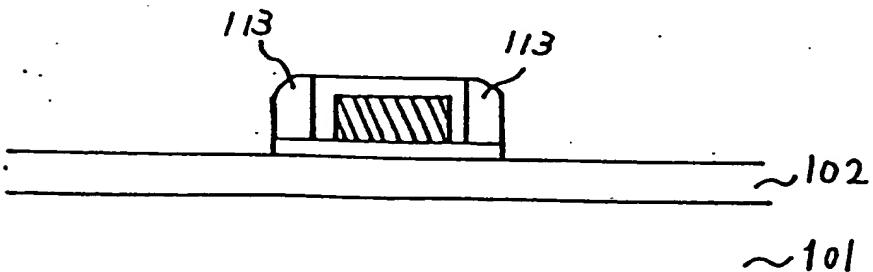
(A)



(B)

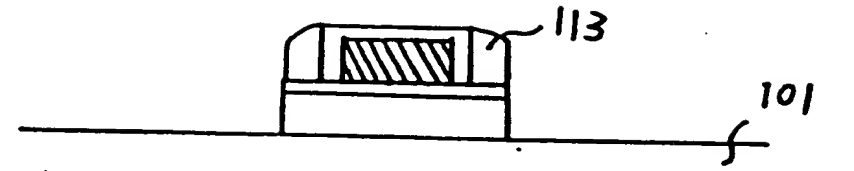


(c)

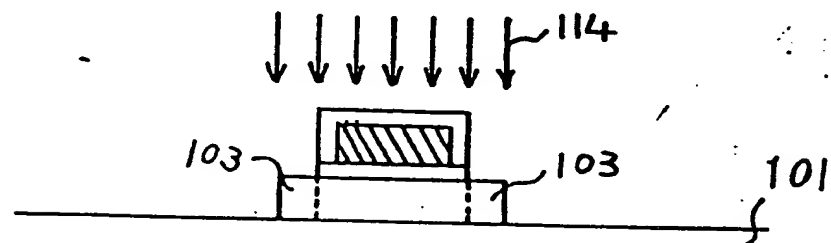


— (D)

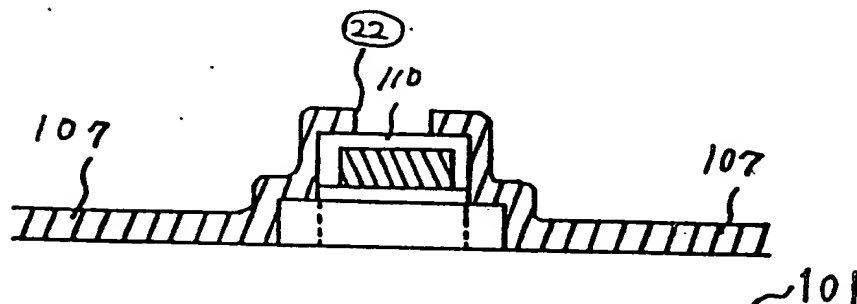
Fig. 7



(E)



(F)



(G)

Fig. 8

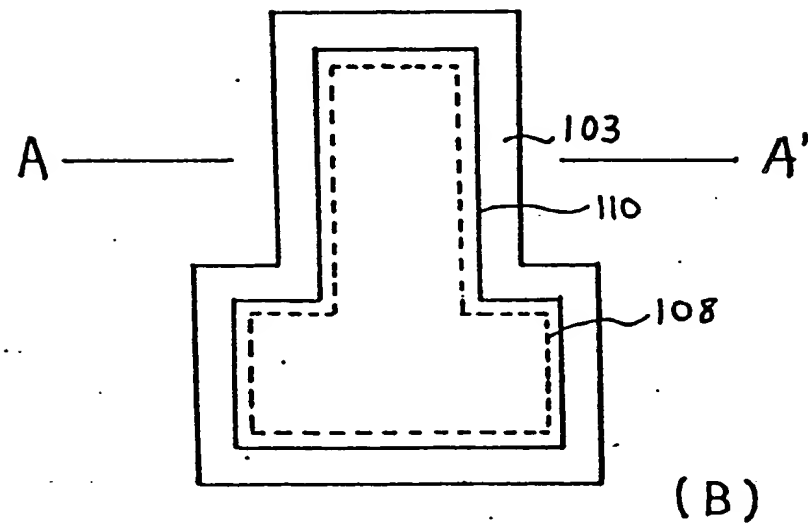
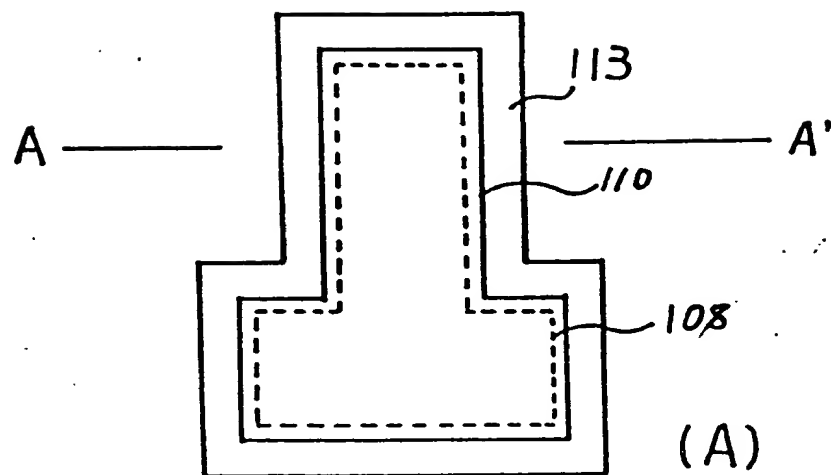
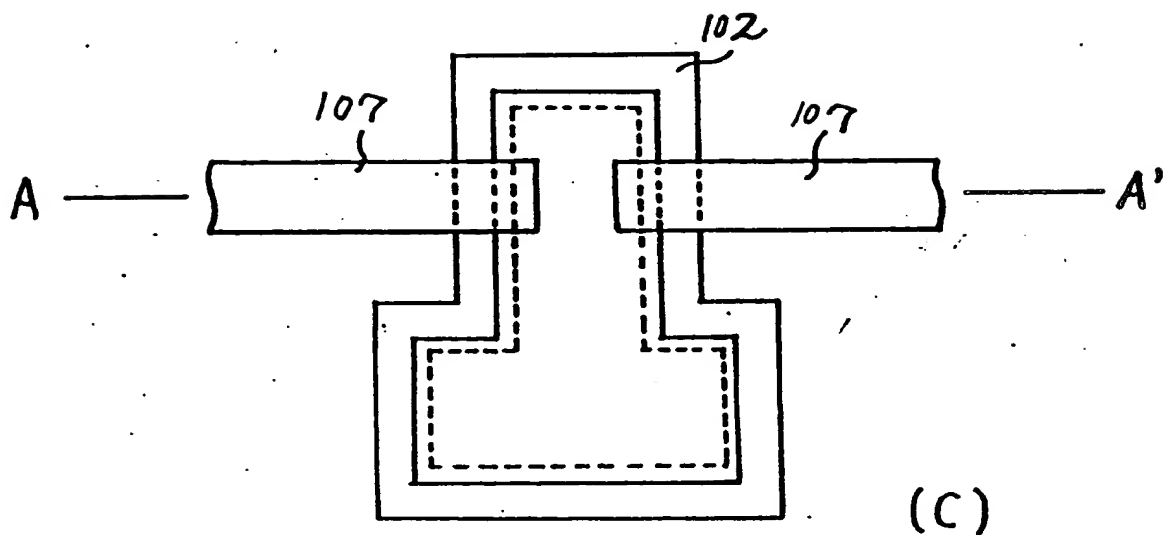
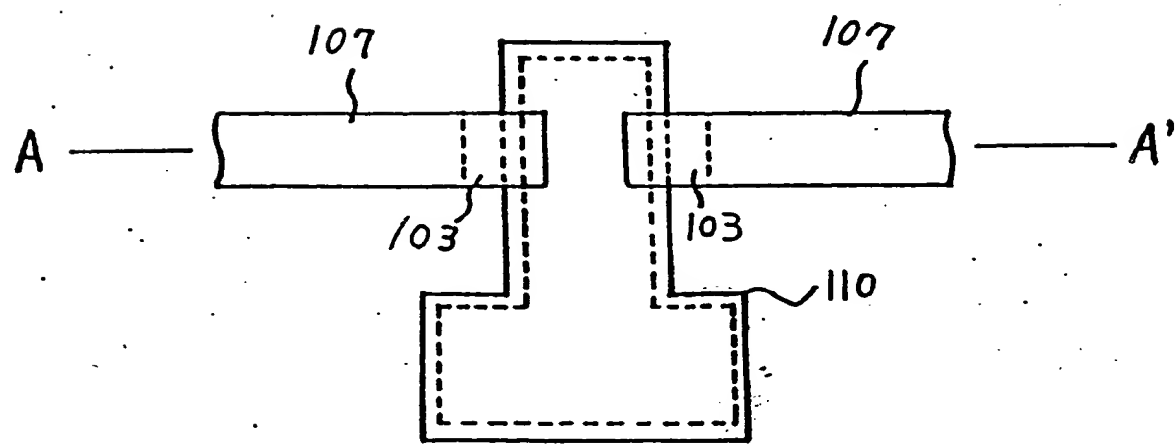


Fig. 8

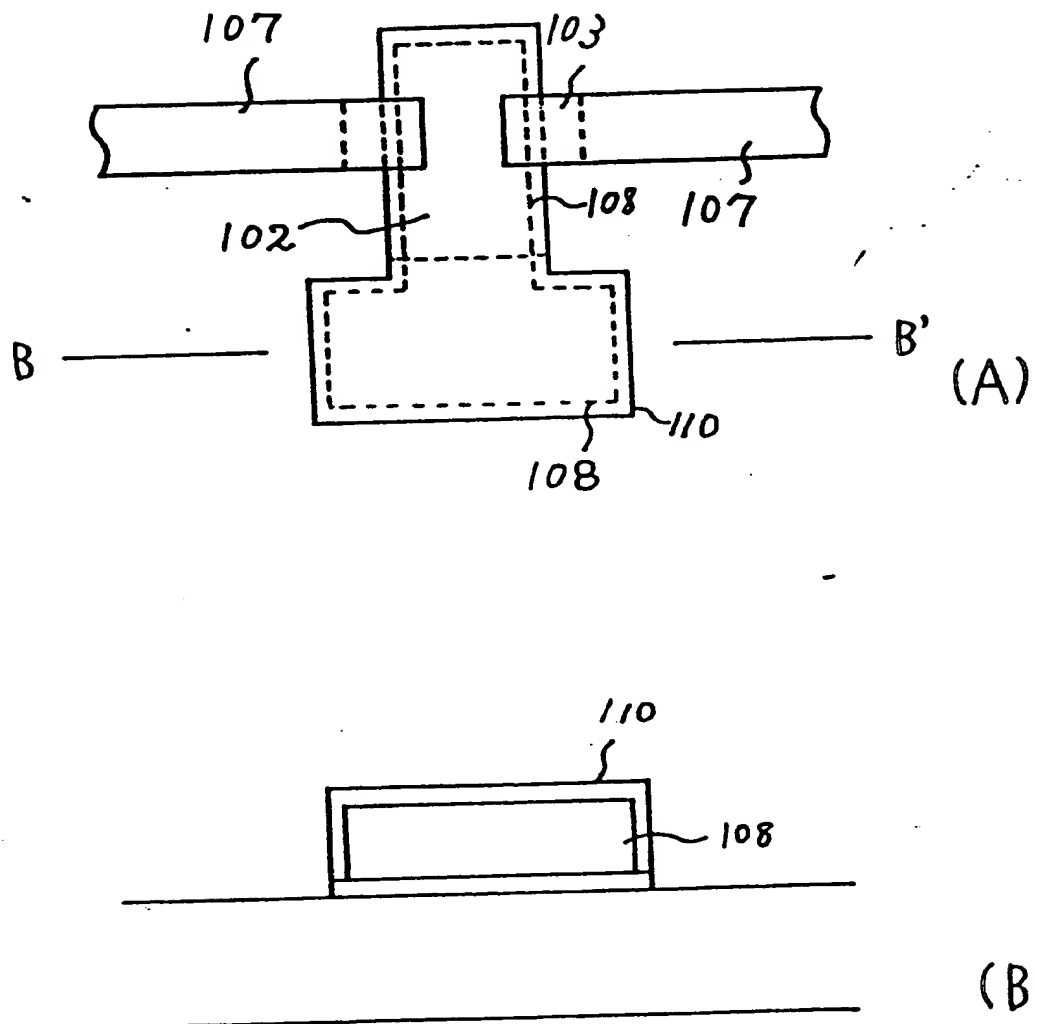


(C)



(D)

Fig. 9



841644

Fig. 10

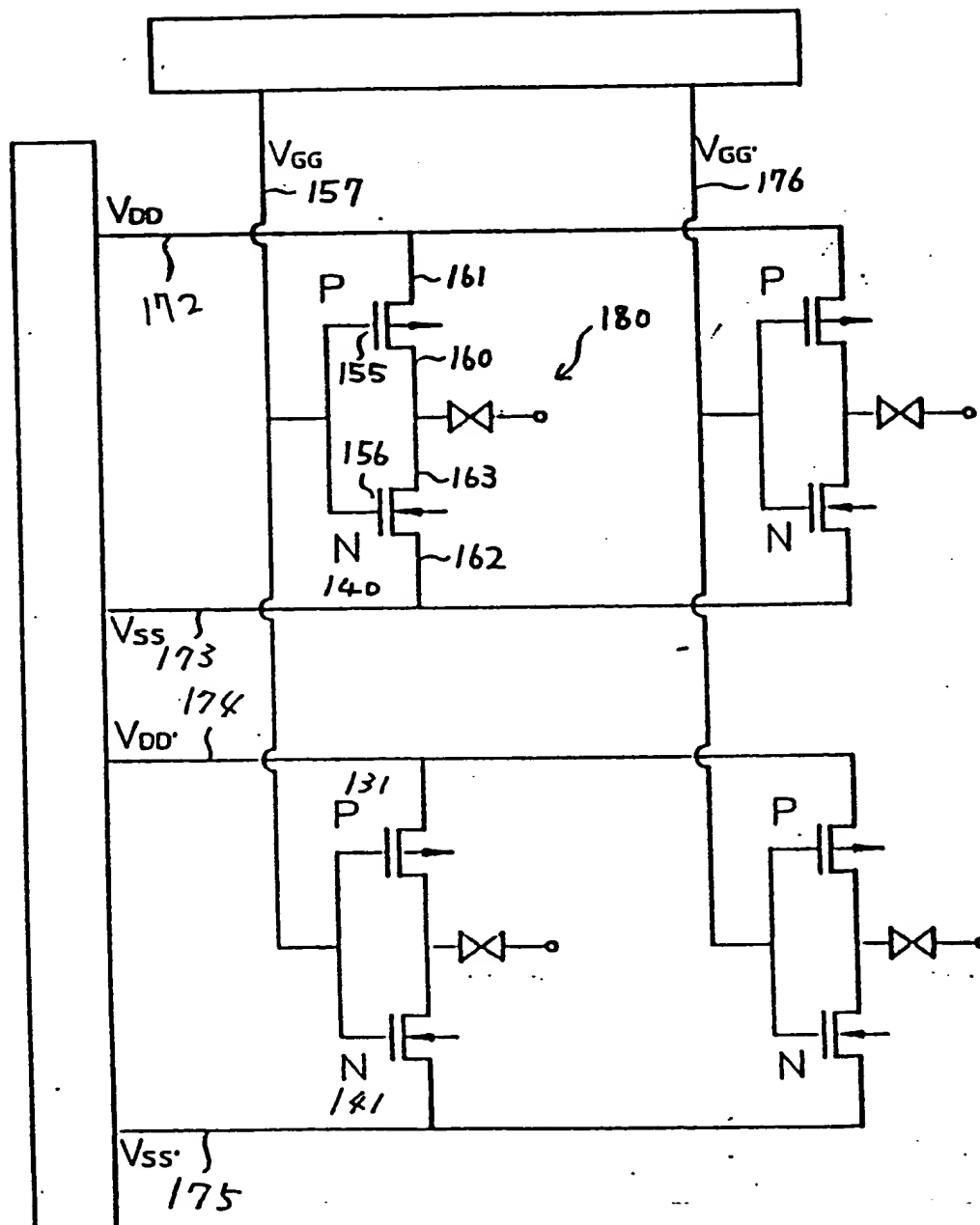


Fig. 11

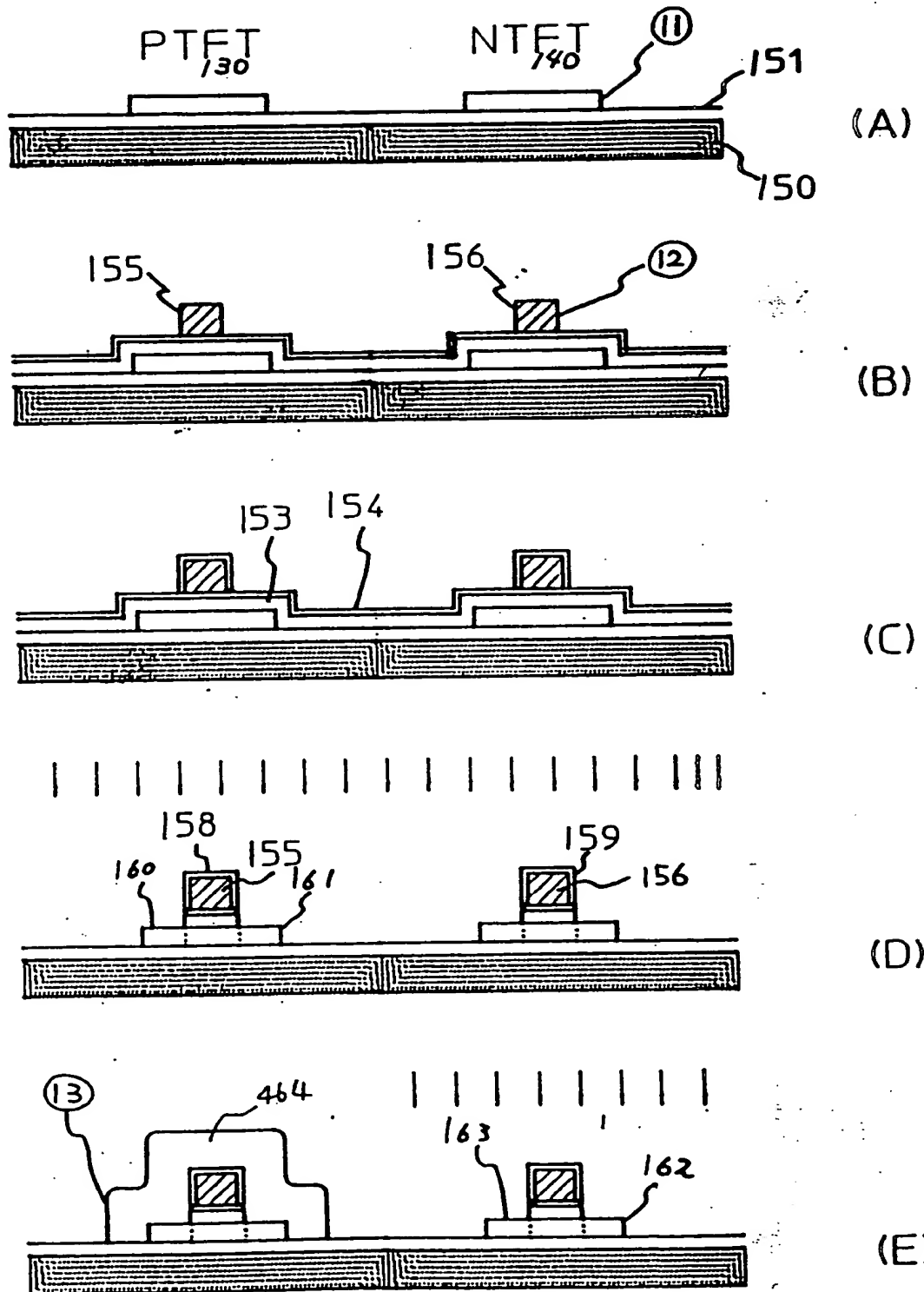
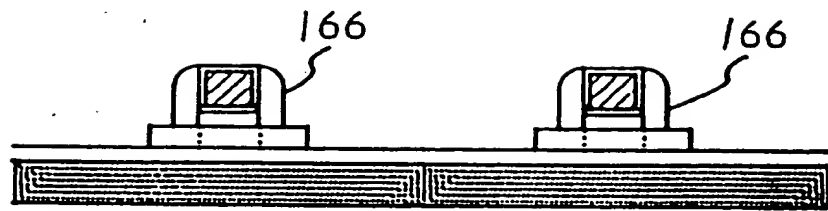
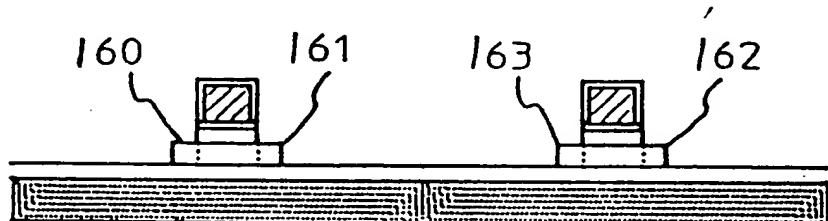


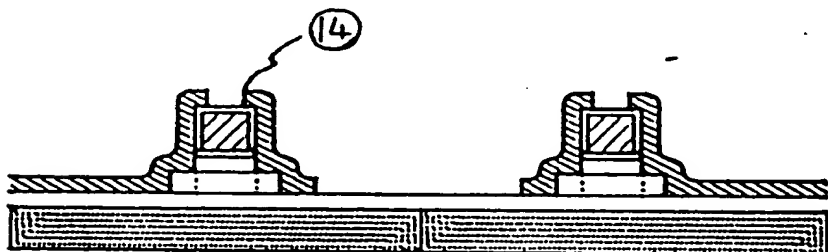
Fig. 11



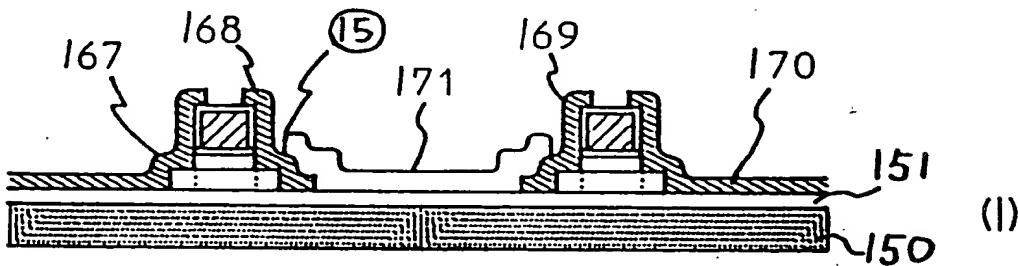
(F)



(G)

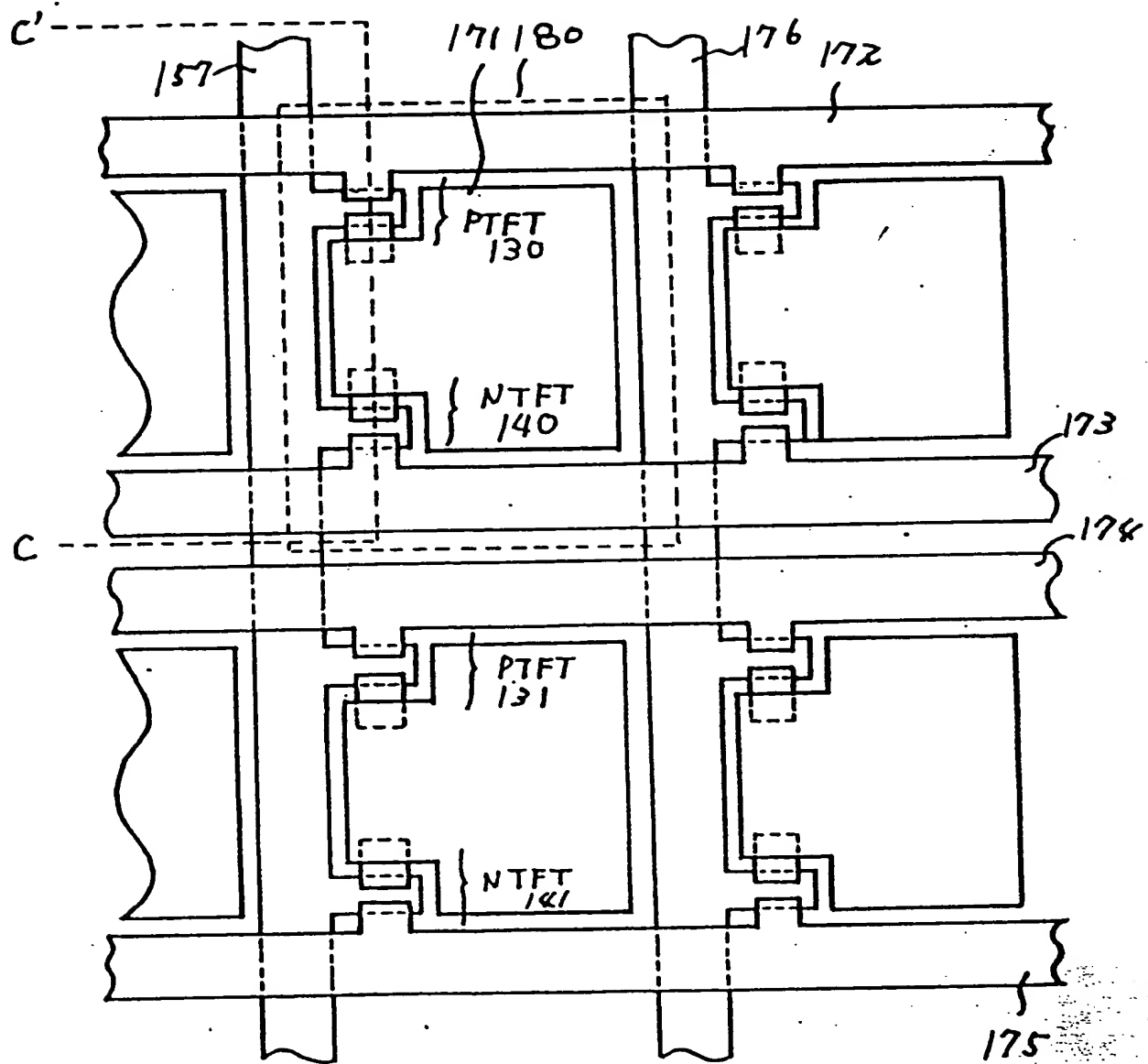


(H)



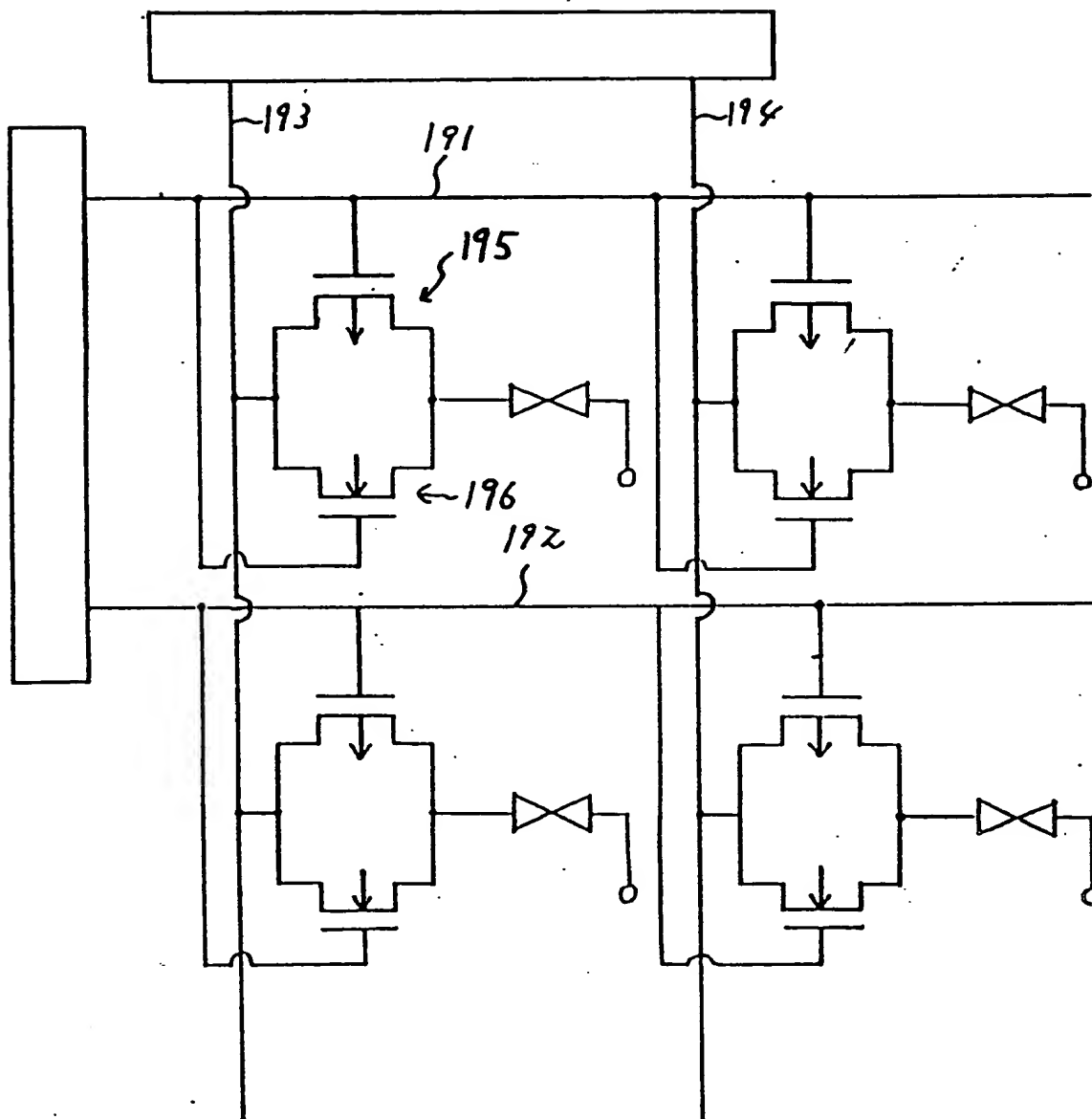
(I)

Fig. 12



841644

Fig. 13



008441644, 043093

841644

Fig. 14

